

**РАСПРОСТРАНЕНИЕ ПОВЕРХНОСТЕЙ РАЗРЫВА В ТЕРМОУПРУГОМ ИЗОТРОПНОМ ТЕЛЕ С УЧЕТОМ ВРЕМЕНИ РЕЛАКСАЦИИ ТЕПЛООВОГО ПОТОКА**

Изучение термоупругих явлений в твердых телах в некоторых случаях, например при воздействии лазерного излучения, требует учета конечной скорости распространения тепла в связи с весьма быстрым характером тепловыделения. Теория теплопроводности, учитывающая время релаксации теплового потока, носит название обобщенной и устраняет парадокс бесконечной скорости распространения тепла [1-3]. В контексте обобщенной теории термоупругости рассмотрены ряд важных проблем, среди которых выделим исследования распространения плоских волн в изотропных и анизотропных средах с конечной скоростью распространения тепла [4, 5]. В последнее время появились работы [6, 7], где обсуждается применение других методов для решения задачи распространения термоупругих волн в изотропных средах. Ниже предлагается реализация метода характеристик применительно к исследованию нестационарных процессов в двумерной изотропной среде с учетом релаксации теплового потока.

Запишем уравнения движения в компонентах тензора напряжений в случае двумерной задачи ( $x_3 = 0$ ). Будем иметь [8]:

$$A_4(A_1(\Delta\sigma_{11} - \Delta\sigma_{22}) + 2A_4\Delta\sigma_{22}) + 2A_4(A_1 - A_4)\frac{\partial^2}{\partial x_1^2}(\sigma_{11} + \sigma_{22}) + 4A_4(A_1 - A_4)\frac{\partial X_1}{\partial x_1} = \rho(A_1\ddot{\sigma}_{11} - (A_1 - 2A_4)\ddot{\sigma}_{22}) + 2A_4\beta(\ddot{T}\rho - A_4\Delta T),$$

$$A_4\Delta\sigma_{12} + A_4\frac{\partial^2}{\partial x_1\partial x_2}(\sigma_{11} + \sigma_{22}) + A_4\left(\frac{\partial X_2}{\partial x_1} + \frac{\partial X_1}{\partial x_2}\right) = \rho\ddot{\sigma}_{12},$$

$$A_4(A_1(\Delta\sigma_{22} - \Delta\sigma_{11}) + 2A_4\Delta\sigma_{11}) + 2A_4(A_1 - A_4)\frac{\partial^2}{\partial x_2^2}(\sigma_{11} + \sigma_{22}) + 4A_4(A_1 - A_4)\frac{\partial X_2}{\partial x_2} = \rho(A_1\ddot{\sigma}_{22} - (A_1 - 2A_4)\ddot{\sigma}_{11}) + 2A_4\beta(\ddot{T}\rho - A_4\Delta T).$$

Здесь  $A_1, A_4$  - упругие постоянные, которые выражаются через постоянные Ламе следующим образом:  $\lambda = A_1 - 2A_4, \mu = A_4, \beta$  - константа, связывающая тепловые и механические напряжения,  $\beta = (3A_1 - 4A_4)\alpha_T, \alpha_T$  - коэффициент линейного теплового расширения,  $T$  - абсолютная температура,  $\rho$  - плотность среды,  $X_i$  - массовые силы,  $i, j = 1, 2, \Delta = \frac{\partial^2}{\partial x_1^2} + \frac{\partial^2}{\partial x_2^2}$ .

Обобщенный закон термоупругости запишем в следующем виде[2, 3]:

$$\lambda\Delta T - c_v(\dot{T} - \tau\ddot{T}) = \beta T_0(\dot{e}_{11} + \dot{e}_{22} + \tau(\ddot{e}_{11} + \ddot{e}_{22})),$$

или

$$\lambda\Delta T - (\dot{T} + \tau\ddot{T})\left(c_v + \frac{2\beta^2 T_0}{2(A_1 - A_4)}\right) - \frac{\beta T}{2(A_1 - A_4)_0}(\dot{\sigma}_{11} + \dot{\sigma}_{22} + \tau(\ddot{\sigma}_{11} + \ddot{\sigma}_{22})) = 0,$$

где  $\lambda$  - коэффициент теплопроводности,  $T_0$  - начальная температура,  $\tau$  - время релаксации теплового потока,  $c_v$  - удельная теплоемкость при постоянном объеме. Уравнения (1), (2) образуют замкнутую систему уравнений для исследования волновых процессов в изотропной термоупругой среде с конечной скоростью распространения тепла. В общем случае начальные данные к этой системе зададим на поверхности

$$Z(t, x_1, x_2) = const$$

и перейдем к новым переменным по следующей схеме [9]

$$Z = Z(t, x_1, x_2), Z_k = Z_k(t, x_1, x_2), k = 1, 2. \quad (3)$$

Выражая производные по старым переменным через производные по новым переменным, получим

$$\frac{\partial y_j(t, X)}{\partial x_k} = \sum_{i=0}^2 \frac{\partial y_j}{\partial Z_i} \frac{\partial Z_i}{\partial x_k},$$

$$\frac{\partial^2 y_j}{\partial x_k \partial x_n} = \sum_{i,m=0}^2 \frac{\partial^2 y_j}{\partial Z_i \partial Z_m} \frac{\partial Z_i}{\partial x_k} \frac{\partial Z_m}{\partial x_n} + \sum_{i=0}^2 \frac{\partial y_j}{\partial Z_i} \frac{\partial^2 Z_i}{\partial x_k \partial x_n}, \quad (4)$$

$$Z \equiv Z_0, t \equiv x_0.$$

Подставим (4) в систему (1), (2) и выпишем только те члены, которые содержат производные второго порядка по  $Z$ , так как только они будут важны для последующего изложения [9]. В результате получим

$$(A_1\Omega + 2A_4(A_1 - A_4)p_1^2)\frac{\partial^2 \sigma_{11}}{\partial Z^2} + (2A_4(A_1 - A_4)p_1^2 - (A_1 - 2A_4)\Omega)\frac{\partial^2 \sigma_{22}}{\partial Z^2} + 2A_4\beta\Omega\frac{\partial^2 T}{\partial Z^2} + \dots = 0,$$

$$\Omega\frac{\partial^2 \sigma_{12}}{\partial Z^2} + A_4\left(\frac{\partial^2 \sigma_{11}}{\partial Z^2} + \frac{\partial^2 \sigma_{22}}{\partial Z^2}\right)p_1 p_2 + \dots = 0,$$

$$(A_1\Omega + 2A_4(A_1 - A_4)p_2^2)\frac{\partial^2 \sigma_{22}}{\partial Z^2} + (2A_4(A_1 - A_4)p_2^2 - (A_1 - 2A_4)\Omega)\frac{\partial^2 \sigma_{11}}{\partial Z^2} + 2A_4\beta\Omega\frac{\partial^2 T}{\partial Z^2} + \dots = 0,$$

$$(\lambda g^2 - \tau(c_v + a)p_0^2)\frac{\partial^2 T}{\partial Z^2} - b\varphi_0^2\left(\frac{\partial^2 \sigma_{11}}{\partial Z^2} + \frac{\partial^2 \sigma_{22}}{\partial Z^2}\right) + \dots = 0.$$

Здесь

$$p_0 = \frac{\partial Z}{\partial t}, p_k = \frac{\partial Z}{\partial x_k}, g^2 = p_1^2 + p_2^2, a = \frac{\beta^2 T_0}{A_1 - A_4},$$

$$b = \frac{\beta T_0}{2(A_1 - A_4)}, k = 1, 2, \Omega = A_4 g^2 - \rho p_0^2$$

Уравнение характеристической поверхности найдем из условия неразрешимости последней системы уравнений относительно производных  $\frac{\partial^2 T}{\partial Z^2}, \frac{\partial^2 \sigma_{ij}}{\partial Z^2}, i, j = 1, 2$ , то есть из условия равенства нулю определителя, составленного из коэффициентов при этих производных [9]:

$$\det \|\omega_{ij}\| = 0, \quad (5)$$

где

$$\omega_{ii} = A_1(A_4 g^2 - \rho p_0^2) + 2A_4(A_1 - A_4)p_i^2,$$

$$\omega_{ij} = -(A_1 - A_4)(A_4 g^2 - \rho p_0^2) + 2A_4(A_1 - A_4)p_i p_j,$$

$$\omega_{33} = A_4 g^2 - \rho p_0^2, \omega_{i3} = \omega_{43} = \omega_{34} = 0, \omega_{3i} = A_4 p_1 p_2,$$

$$\omega_{i4} = 2A_4 \beta (A_4 g^2 - \rho p_0^2), \omega_{4i} = -b \varphi_0^2,$$

$$\omega_{44} = \lambda g^2 - \tau(c_v + a)p_0^2, i = 1, 2. \quad (6)$$

Отметим, что постоянная  $a$  определяет сопряжение теплового поля и поля деформаций и имеет порядок  $10^4 + 10^5$  Н/м<sup>2</sup>·град. Постоянная  $b$  позволяет учитывать влияние механического поля на поле температур и является величиной порядка  $10^{-2} \div 10^{-3}$ , поэтому в (6) компонентами  $\omega_{4i} = -b \varphi_0^2$  можно пренебречь. Действительно, коэффициент  $b$  является малым и в произведении с  $\tau$  (для металлов принимаем  $\tau \approx 10^{-11}$  с) имеет порядок  $10^{-13} \div 10^{-14}$  с (таблица 1, [10, 11]).

Заметим, что в таблице 1 упругие постоянные  $A_1$  и  $A_4$  рассмотренных изотропных сред являются усредненными модулями упругости  $c_{11}, c_{12}, c_{44}$  соответствующих анизотропных тел [12]:

$$A_4 = c_{44} + 0.2(c_{11} - c_{12} - 2c_{44}),$$

$$A_1 = c_{12} + 2c_{44} + 0.6(c_{11} - c_{12} - 2c_{44})$$

Раскрывая определитель (5) и отбрасывая при этом  $\omega_{4i}, i = 1, 2$ , получим

$$(A_4 g^2 - \rho p_0^2)^2 (A_1 g^2 - \rho p_0^2) (\lambda g^2 - \tau(c_v + a)p_0^2) = 0. \quad (7)$$

Таблица 1 – Коэффициенты связности  $a, b$  для некоторых изотропных сред.

Материал	Упругие постоянные, $\times 10^{10}$ Н/м <sup>2</sup>		Термоупругая постоянная, $\beta, \times 10^3$ Н/м <sup>2</sup> ·град	Коэффициенты связности,	
	$A_1$	$A_4$		$a$ , Н/м <sup>2</sup> ·град	$b$
серебро	14.864	3.378	5905.2	88955	0.0075
свинец	6.0296	1.012	3980.6	92527	0.012
молибден	43.44	12.280	4060.0	15500	0.00191

Отсюда

$$A_4 g^2 - \rho p_0^2 = 0, A_1 g^2 - \rho p_0^2 = 0, \lambda g^2 - \tau(c_v + a)p_0^2 = 0. \quad (8)$$

Уравнения (8) позволяют найти скорости распространения поверхностей разрыва  $V = -\frac{p_0}{g}$  [9]:

$$V_1 = \sqrt{\frac{A_4}{\rho}}, V_2 = \sqrt{\frac{A_1}{\rho}}, V_3 = \sqrt{\frac{\lambda}{\tau(c_v + a)}}. \quad (9)$$

Здесь  $V_1, V_2$  - скорости распространения упругих волн,  $V_3$  - скорость распространения тепловой волны, сопровождающейся полем деформаций (термоупругой волны).

Рассмотрим распространение поверхностей разрыва в термоупругой среде с учетом влияния механического поля на тепловое. Раскрывая определитель (5) со всеми компонентами  $\omega_{kl}, k, l = \overline{1, 4}$ , получим

$$(A_4 g^2 - \rho p_0^2)^2 \cdot (2b \tau \beta p_0^2 (A_4 g^2 - \rho p_0^2) + (\lambda g^2 - \tau(c_v + a)p_0^2) (A_1 g^2 - \rho p_0^2)) = 0. \quad (10)$$

Из уравнения (10) для скоростей распространения поверхностей разрыва будем иметь

$$P_1 = \sqrt{\frac{A_4}{\rho}}, P_{2,3} = \sqrt{\frac{I}{2} \left( A \mp \sqrt{A^2 - 4B} \right)}, \quad (11)$$

$$\text{где } A = \frac{\rho k - \tau(2\beta A_4 - A_1(c_v + a))}{\rho \alpha_v}, B = \frac{\lambda A_1}{\rho \alpha_v}.$$

В формулах (11) скорость  $P_1 = V_1$  - скорость распространения упругой волны,  $P_2$  - скорость упругой волны, сопровождающейся тепловым полем,  $P_3$  - тепловой волны, сопровождающейся полем деформаций. Используя уравнения (7) и (10), легко получить уравнения для бихарактеристик, которые образуют характеристическую поверхность и являются составляющими групповой скорости  $G$  распространения волны. Для этого, например из (12), выразим  $p_0$  следующим образом:

$$p_0 = g \sqrt{\frac{A_1}{\rho}}. \quad (12)$$

Отсюда вытекают следующие уравнения бихарактеристик [9]:

Таблица 2 – Значения скоростей распространения упругих и термоупругих волн.

Материал	$\rho$ , кг/м <sup>3</sup>	$\lambda$ , Вт/м·град	$c_v$ , $\times 10^3$ Дж/м <sup>3</sup> ·град	Скорости упругих и термоупругих волн, м/с				
				$V_1$	$V_2$	$P_2$	$V_3$	$P_3$
серебро	10505	418	2454	1793	3762	3593	4054	4321
свинец	11342	34.89	1458	945	2306	1482	1500	2407
молибден	9010	162	2188	1167	3691	1367	2712	7348

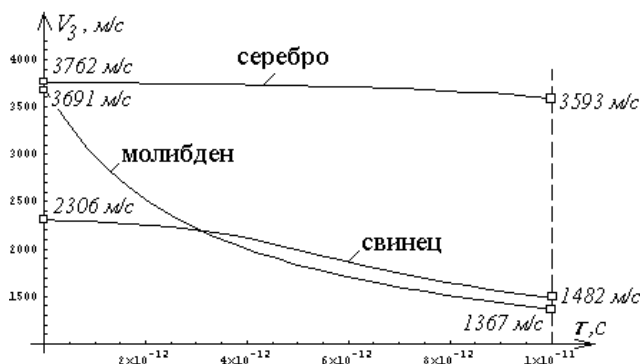


Рисунок 1 – Зависимости скорости термоупругой волны  $P_3(\tau)$  от времени релаксации теплового потока  $\tau$ .

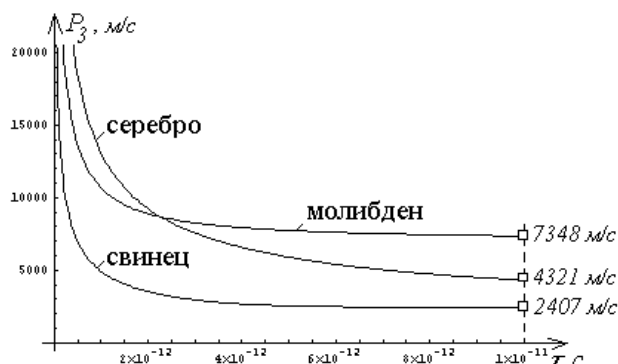


Рисунок 2 – Зависимости скорости термоупругой волны  $P_4(\tau)$  от времени релаксации теплового потока  $\tau$ .

$$\frac{dx_k}{dt} = \frac{\partial p_0}{\partial p_k} = \frac{p_k}{g} \sqrt{\frac{A_1}{\rho}} = \cos \alpha_k \sqrt{\frac{A_1}{\rho}},$$

или, при  $t=1$

$$x_k = \cos \alpha_k \sqrt{\frac{A_1}{\rho}}, k = 1, 2. \quad (13)$$

Из (13) следует уравнение окружности для кривой, которая представляет собой фронт волны, распространяющейся со скоростью  $V_2$

$$x_1^2 + x_2^2 = A_1 / \rho.$$

Групповую скорость  $G_2$  найдем следующим образом [9]

$$G_2 = \sqrt{\left(\frac{\partial p_0}{\partial p_1}\right)^2 + \left(\frac{\partial p_0}{\partial p_2}\right)^2} = \sqrt{\frac{A_1}{\rho}}.$$

Аналогично можно показать, что фазовые скорости  $V_k$  и  $P_k, k = 1, 3$  совпадают с соответствующими групповыми скоростями.

Произведем расчет скоростей  $V_k$  и  $P_k$  распространения упругих и термоупругих волн в серебре, свинце и молибдене при температуре  $T_0 = 293$  K (выбор этих металлов обусловлен различным характером распространения волн). Значения скоростей приведены в таблице 2.

Как следует из таблицы 2, во всех рассмотренных материалах эффекты связности полей деформаций и температур в значительной степени влияют на распространение поверхностей разрыва, поэтому при расчете скоростей термоупругих волн необходимо учитывать как постоянную  $a$ , так и константу  $b$ .

Отметим, что в приведенных выше расчетах время релаксации теплового потока  $\tau$  принималось равным  $1 \cdot 10^{-11}$  с, тогда как точные значения  $\tau$  для металлов не определены и иногда в расчетах принимают  $\tau = 0.5 \cdot 10^{-11}$  с. Формулы (9) и (11) для  $V_3, P_k, k = 2, 3$  позволяют исследовать влияние времени релаксации теплового потока на скорость распространения термоупругих волн с помощью графиков зависимостей  $P_2(\tau)$  и  $P_3(\tau)$  (рисунки 1, 2).

Как следует из рисунка 1, в серебре и свинце скорость  $P_2$  практически не изменяется на всем промежутке изменения времени  $\tau$  от 0 до  $1 \cdot 10^{-11}$  с, тогда как в молибдене  $P_2$  возрастает. При  $\tau \rightarrow 0$  скорость  $P_2$  в рассматриваемых материалах стремится к конечному пределу, причем этот предел в точности совпадает со значением скорости  $V_2$  (рисунки 1, таблица 2). Функции скоростей распространения термоупругих волн  $V_3(\tau)$  аналогичны для всех материалов и представляют собой зависимости  $V_3 = K \cdot f(\tau)$ , где

$$f(\tau) = \sqrt{\frac{1}{\tau}}, K - \text{коэффициент, зависящий от механических}$$

и тепловых свойств материала, причем при  $\tau \rightarrow 0$  имеем  $f(\tau) \gg K$ , поэтому при уменьшении времени релаксации теплового потока скорость  $V_3$  стремится в бесконечность. С учетом эффекта связности теплового и деформационного полей зависимость скорости термоупругой волны  $P_3(\tau)$  может существенно отличаться от  $V_3(\tau)$  (см. таблицу 2), однако при уменьшении промежутка времени релаксации теплового потока скорость  $P_3$  также устремляется в беско-

нечность (рисунок 2). С учетом выше сказанного, предельный переход от конечной скорости распространения теплового потока к бесконечной в случае микрополярной термоупругой изотропной среды можно интерпретировать как переход от обобщенной взаимосвязанной теории теплопроводности к несвязанной.

#### СПИСОК ИСПОЛЬЗОВАННЫХ ИСТОЧНИКОВ

1. Лыков А.В. Теория теплопроводности. М. - 1967.
2. Lord H. W., Shulman Y.// J. Mech. And Phys. Solids, 1967. - Vol. 15. - No. 5. - P. 299-309.
3. Подстригач Я.С., Коляно Ю.М. Обобщенная термомеханика. Киев. - 1975.
4. Sharma J.N., Singh H.// J. Acoust. Soc. Am. - 1989. - Vol. 85. - No. 4. - P. 1407-1413.

5. Шашков А.Г., Бубнов В.А., Яновский С.Ю. Волновые явления теплопроводности: системно-структурный подход. Мн. - 1993.
6. Haddow J.B., Wegner J.L.// Math. And Mech. Solids. - 1996. - Vol. 1. - No. 1. - P. 11-127.
7. Liu Kaishin, Xie Suming // Acta mech. solida sin. - 1996. - Vol. 17. - No. 3. - P. 221-228.
8. Новацкий В. Теория упругости. М. - 1975.
9. Смирнов В.И. Курс высшей математики. Т. IV. - Ч. 2. - М. 1981.
10. Современная кристаллография. Т. IV. Физические свойства кристаллов. М. - 1984.
11. Таблицы физических величин. Справочник. Под ред. И.К. Кикоина. М. - 1976.
12. Федоров Ф.И. Упругие волны в кристаллах. М. - 1965.

УДК 621.891

**Басинюк Я.В., Ишин Н.Н., Басинюк В.Л., Мардосевич Е.И.**

### ВИБРОМОНИТОРИНГ ВНУТРЕННЕЙ ДИНАМИЧЕСКОЙ НАГРУЖЕННОСТИ, ТОЧНОСТНЫХ ПАРАМЕТРОВ И ИЗНОСОВ ОТДЕЛЬНЫХ ПАР ЗУБЬЕВ ПЕРЕДАЧ ЗАЦЕПЛЕНИЕМ

Интенсивное развитие расчетных методов оценки параметров надежности механических систем в ряде случаев позволяет уже на стадии проектирования не только оценить ресурс их работоспособности, но и провести сертификацию изделий практически без проведения испытаний натуральных образцов. Вместе с тем, постоянно растущие требования к безопасности изделий, в том числе к снижению уровня их виброакустической активности, обуславливают создание и использование новых конструктивных и технологических решений, расчетная оценка эффективности использования которых традиционными методами затруднена. Поэтому и сегодня ведущими производителями приводных систем проводятся их исследования, которые до настоящего времени остаются наиболее дорогостоящим, трудоемким и длительным этапом создания нового изделия.

При испытаниях приводов зацеплением оценка их реальной внутренней динамической нагруженности позволяет уточнить принятые при проектировании расчетные нагрузочные данные. Кроме того, в ряде случаев, наличие достоверной информации о нагруженности отдельных пар зубьев позволяет рассматривать каждый зуб как отдельный объект исследований, что обеспечивает значительное уменьшение длительности и стоимости испытаний, а также существенное сокращение объема испытываемых объектов.

Целью настоящей работы является исследование возможностей эффективной оценки внутренней динамической нагруженности, точностных характеристик в реальных условиях нагружения и степени износа отдельных пар зубьев и прямозубых зубчатых передач в целом путем их вибромониторинга со съемом измерительной информации в режиме «осциллографа» с фиксацией в реальном масштабе времени и анализом по амплитудным значениям сигнала с использованием методов математической статистики. Ее реализация в ряде случаев позволяет обеспечить существенное ускорение испытаний, снижение трудоемкости и длительности их проведения на основе создания и использования алгоритмов

съема и обработки диагностических данных с использованием современных микропроцессорных программно-аппаратных средств контроля в реальном масштабе времени параметров взаимодействия и зацепления в целом.

Вибромониторинг приводных систем - одно из самых распространенных и перспективных направлений в создании средств оценки нагруженности и технического состояния приводных систем. Вместе с тем, его использование, как правило, позволяет определить лишь ориентировочные, усредненные для зацепления в целом, значения динамической нагруженности и далеко не всегда обеспечивает достоверность получаемой информации. Это связано прежде всего со сложностью учета влияния взаимосвязанных между собой инерционных и нелинейно зависящих от скоростных и нагрузочных факторов жесткостных параметров и передаточных функций динамической системы, искажающих вибросигнал при его передаче от источника колебаний к первичному преобразователю.

При выполнении настоящей работы определялась связь внутренней динамической нагруженности отдельных пар зубьев испытываемой зубчатой передачи с виброускорениями, зафиксированными на ее подшипниковых опорах, и оценивались возможности построения на основе полученных результатов эффективной системы вибромониторинга с использованием информационно-технологий съема, обработки и представления диагностических данных.

Экспериментальные исследования проводились на стенде с открытым силовым контуром (рисунок 1) на примере некорректированной прямозубой зубчатой передачи с модулем  $m = 3$  мм и числами зубьев  $Z_1 = Z_2 = 40$ . Перед проведением испытаний на торцевые поверхности зубьев одного из колес по мостовой схеме наклеивались тензорезисторы. Их тарировка осуществлялась при частоте вращения ведущего вала диагностируемой передачи  $n = 18$  рад/с и нагружающих моментах, соответствующих режимам последующих исследований -  $T = 60, 80, 100, 120, 140, 160, 180$  и  $200$  Нм. Виб-

**Басинюк Ярослав Владимирович.** Инженер - систематехник, соискатель ИНДМАШ НАН Беларуси.

**Ишин Николай Николаевич.** К.т.н., доцент, заведующий лабораторией ИНДМАШ НАН Беларуси.

**Басинюк Владимирович Леонидович.** К.т.н., доцент, заместитель директора по НИР ИНДМАШ НАН Беларуси.

**Мардосевич Елена Ивановна.** Инженер - механик, аспирант-очник, и.о. Ученого секретаря ИНДМАШ НАН Беларуси. Беларусь, 220072, г. Минск, ул. Академическая 12.